

- [3] Акимов Б.А., Брандт Н.Б., Никифоров В.Н.,
Пирогов Ю.А. - Препринт № 17/1981 физического
факультета МГУ, Москва, 1981. 9 с.
- [4] Акимов Б.А., Зломанов В.П., Рябова Л.И.,
Чудинов С.М., Яценко О.Б. - ФТП, 1979, т. 13,
в. 7, с. 1293-1301.

Московский государственный
университет им. М.В. Ломоносова

Поступило в Редакцию
19 января 1988 г.

Письма в ЖТФ, том 14, вып. 8

26 апреля 1988 г.

ОПРЕДЕЛЕНИЕ ХЛАДОЕМКОСТИ
МАГНИТНЫХ ХЛАДАГЕНТОВ НА ОСНОВЕ
РЕДКОЗЕМЕЛЬНЫХ МЕТАЛЛОВ И ИХ СПЛАВОВ
ИЗ ИЗМЕРЕНИЙ МАГНИТОКАЛОРИЧЕСКОГО ЭФФЕКТА

С.А. Никитин, А.М. Тишин

Интерес к магнитным холодильным машинам (МХМ) в последние годы связан с возможностью их применения для практических целей [1]. Выбор магнетиков, перспективных для использования в качестве магнитных хладагентов является сложной задачей, поскольку до сих пор отсутствует теория, позволяющая однозначно выделить их из широкого класса магнитных материалов и соединений.

В 1985 г. Буд и Поттер предложили новый метод для решения проблемы оптимизации магнитного охлаждения. Они провели анализ эффективности циклов на основе изучения величины хладоемкости $\Delta S \Delta T_4$: произведения величины используемого в цикле изменения энтропии ΔS на рабочий интервал температур цикла $\Delta T_4 = T_x - T_z$, где T_x и T_z - верхняя и нижняя температуры рабочего интервала цикла. Было установлено, что циклы, у которых хладоемкость достигает своего максимального значения, являются оптимальными. В работе [1] представлены результаты вычислений хладоемкости для ферро-, антиферро- и парамагнитных хладагентов. Однако все расчеты проведены в приближении теории молекулярного поля и справедливы только для коллинеарных ферро- и антиферромагнетиков.

В данной работе определена хладоемкость магнитных циклов, работающих с использованием редкоземельных металлов (РЗМ) и их сплавов, проведено сравнение полученных результатов со значениями хладоемкости, вычисленными для ряда рабочих циклов в работе [1], и показано, что РЗМ и их сплавы, в которых антиферромагнитное состояние разрушается в сравнительно небольших полях, являются в ряде случаев более эффективными как магнитные хладагенты, чем ферромагнитные вещества.

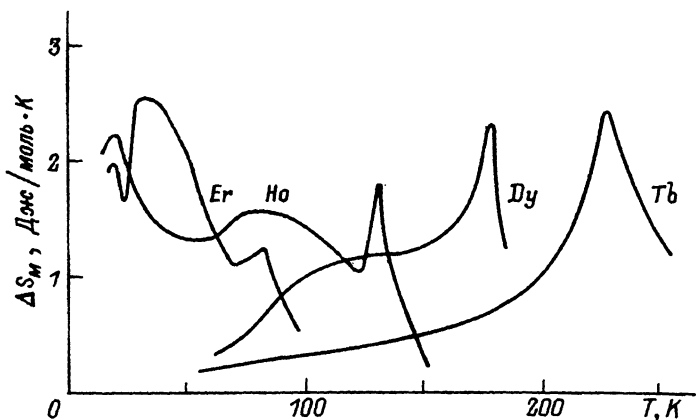


Рис. 1. Температурные зависимости изменения магнитной части энтропии для редкоземельных металлов: Tb , Dy , Ho и Er в поле $H = 4.76 \cdot 10^6$ А/м.

На рис. 1 представлены вычисленные из данных по измерению МКЭ [2] температурные зависимости изменения магнитной части энтропии $\Delta S_m(H, T)$ РЗМ: Tb , Dy , Er и Ho в поле $H = 4.76 \cdot 10^6$ А/м. В расчетах использовались данные по измерению теплоемкости [3-6].

Как видно из рис. 1, РЗМ могут быть пригодны для работы в определенных узких интервалах температур. Результаты вычисления $\Delta S_m(H, T)$ позволяют провести расчет температурной зависимости хладоемкости РЗМ.

Проведенные нами вычисления максимальных хладоемкостей для Ho показывают, что гольмий наиболее эффективен в циклах, работающих в интервале температур 20–135 К. Для данного интервала температур в поле $4.76 \cdot 10^6$ А/м величина хладоемкости Ho достигает значения 129 Дж/моль. Применение эрбия в случае, если верхняя температура рабочего цикла $T_r \geq 100$ К, менее эффективно чем гольмия, поскольку большие значения $\Delta S_m(H, T)$ для эрбия наблюдаются лишь в узкой области температур (см. рис. 1). Эрбий является достаточно эффективным при работе в циклах в области температур 20–85 К. Хладоемкость в этом случае максимальна и в поле $H = 4.76 \cdot 10^6$ А/м равна 72 Дж/моль. Для диспрозия максимальная хладоемкость $(\Delta S_m)_{max} = 87.3$ Дж/моль наблюдается в диапазоне температур 100–190 К.

Поскольку в тяжелых РЗМ значительная величина изменения магнитной части энтропии наблюдается в узком интервале температур (см. рис. 1), то задача выбора рабочих тел для МХМ, работающих в широком диапазоне температур, более эффективно может быть решена при использовании сплавов РЗМ. В сплавах РЗМ разрушение антиферромагнитных геликоидальных структур и соответ-

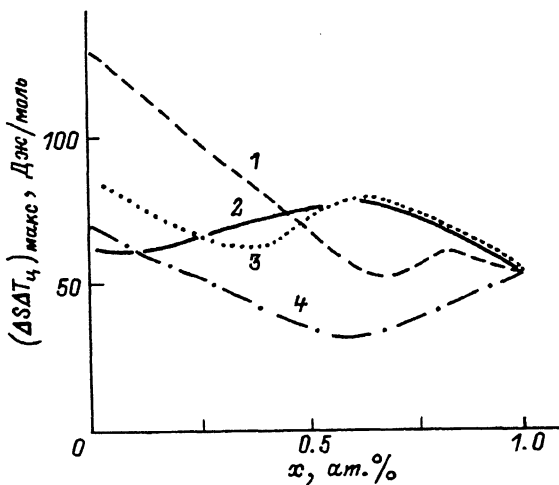


Рис. 2. Зависимость величины максимальной хладоемкости от концентрации для сплавов: 1 - $Gd_x Ho_{1-x}$, 2 - $Gd_x Tb_{1-x}$, 3 - $Gd_x Dy_{1-x}$, 4 - $Gd_x Er_{1-x}$ в поле $H = 4.76 \cdot 10^6 \text{ А/м}$.

ствующее этому процессу изменение магнитной энтропии S_M охватывает значительно более широкий интервал температур [7].

Нами проведены расчеты максимальных значений величины хладоемкости для следующих сплавов РЗМ: $Gd-Ho$, $Gd-Er$, $Gd-Tb$ и $Gd-Dy$. Результаты вычислений, выполненные по программе, предусматривающей поиск оптимальных значений хладоемкости для поля $H = 4.76 \cdot 10^6 \text{ А/м}$, представлены на рис. 2. Определены температурные интервалы, соответствующие максимальным значениям хладоемкости. В вычислениях использовались полученные нами экспериментальные данные по МКЭ в сплавах $Gd-Ho$, $Gd-Er$ [7] и $Gd-Tb$ [8] и результаты измерения теплоемкости РЗМ [3-6]. При вычислении МКЭ сплавов промежуточных составов использовалась установленная ранее зависимость МКЭ от фактора де Жена: $\Delta T_{\text{маг.}} \sim \tilde{G}^{2/3}$ [2, 7]. Теплоемкости сплавов РЗМ находились интерполяцией значений теплоемкости РЗМ. В расчетах учитывалось влияние магнитного поля на теплоемкость [9] и данные по вычислению энтропии гадолиния [10].

Из рис. 2 видно, что наибольшими значениями хладоемкости в области высоких температур обладают сплавы $Gd_x Dy_{1-x}$. Для сплава $Gd_{0.6} Dy_{0.4}$ максимальная величина хладоемкости в поле $H = 4.76 \cdot 10^6 \text{ А/м}$ составляет 79.2 Дж/моль при рабочем интервале температур $\Delta T_4 = 190 \text{ К}$ ($T_r = 300 \text{ К}$, $T_x = 110 \text{ К}$).

В области низких температур максимальные значения хладоемкости имеют сплавы $Gd_x Ho_{1-x}$ (см. рис. 2).

Анализ полученных данных показывает, что наибольшие интервалы рабочих температур ΔT_4 в циклах с большими значениями хладоемкости могут быть реализованы с использованием системы сплавов $Gd_x Ho_{1-x}$. Например, при фиксированных верхней ($T_r = 300$ К) и нижней ($T_x = 20$ К) температурах сплав $Gd_{0.8} Ho_{0.2}$ имеет максимальную хладоемкость $(\Delta S \Delta T_4)_{\max} = 60.5$ Дж/моль. Отсюда следует вывод, что для МХМ, работающих в области температур 20–300 К и использующих одну ступень охлаждения, целесообразно использовать именно этот сплав. Таким образом, данные вычисления позволяют найти состав хладагентов, наиболее перспективных для работы в требуемых интервалах температур.

Представляло интерес сопоставить результаты данных вычислений с величинами хладоемкостей, полученными для хладагентов, предлагаемых в работе [1]. Так, один из лучших хладагентов, предлагаемых в работе [1] EuS , обладает удельной хладоемкостью $\Delta S \Delta T_4 / B = 15$ Дж/моль· T_1 в интервале температур 9–20 К. Для соседнего интервала температур 20–135 К (у гольмия) эта величина равна $\Delta S \Delta T_4 / B = 20$ Дж/моль Тл.

Таким образом, предлагаемые РЗМ и их сплавы обладают большими значениями удельной хладоемкости и позволяют перекрывать значительно (на порядок) большие интервалы температур. Необходимо также отметить, что результаты данной работы показывают, что использование антиферромагнитных хладагентов на основе РЗМ и их сплавах в области существования спиральных структур является более перспективным, чем ферромагнитных веществ.

Л и т е р а т у р а

- [1] Wood M.E. and Potter W.H. – Cryogenics, 1985, v. 25, N 12, p. 667–683.
- [2] Никитин С.А., Андреенко А.С., Тишин А.М. и др. – ФММ, 1985, т. 60, № 4, с. 689–694.
- [3] Jennings L.D., Stanton R.M., Spedding F.H. – J. Chem. Phys., 1957, v. 27, N 4, p. 909–913.
- [4] McKenna T.Y., Campbell S.Y., Chaplin D.H., Wilson D.V.H. – Solid St. Comm., 1981, v. 40, N 1, p. 177–181.
- [5] Yayasuriya K.D., Campbell S.Y., Stewart A.M. – Y. Phys. F: Met. Phys., 1985, v. 5, N 1, p. 225–239.
- [6] Skocardo R.E., Griffel M. and Spedding F.H. – J. Chem. Phys., 1955, v. 23, N 12, p. 2258–2263.
- [7] Никитин С.А., Андреенко А.С., Тишин А.М. и др. – ФММ, 1985, т. 59, № 1, с. 327–331.
- [8] Никитин С.А., Тишин А.М. ХП Всес. сов. „Получение, структура, физические свойства и применение высокочистых и монокристаллических тупоплавких и редких металлов“ – Тезисы докладов, г. Сузdalь, 1987, с. 77.

- [9] Никитин С.А., Тишин А.М. - ФТТ, 1987, т. 29, в. 9, с. 2812-2813.
- [10] Brown G.V. - J. Appl. Phys., 1976, v. 47, N 8, p. 3673-3680.

Московский государственный
университет им. М.В. Ломоносова

Поступило в Редакцию
11 января 1988 г.

Письма в ЖТФ, том 14, вып. 8

26 апреля 1988 г.

ФОТОРЕФРАКЦИЯ В ПЛЕНКАХ СТЕКЛООБРАЗНЫХ
ХАЛЬКОГЕНИДОВ МЫШЬЯКА И ГЕРМАНИЯ
В ОБЛАСТИ СЛАБОЙ ДИСПЕРСИИ

Н.П. Калмыкова, Т.Ф. Мазец,
С.К. Павлов, Э.А. Сморгонская,
Е.И. Шифрин

В работах [1, 2] сообщалось об обнаружении значительных изменений показателя преломления Δn и коэффициента поглощения $\Delta \alpha$ в пленках халькогенидных стеклообразных полупроводников (ХСП) при относительно невысоких уровнях оптического возбуждения выше края фундаментального поглощения. На основании [2] следовало ожидать, что в ХСП в области слабой дисперсии нелинейные оптические свойства должны проявляться при интенсивности света 10^3 - 10^4 Вт/см², что на 2-3 порядка ниже тех интенсивностей, при которых обычно наблюдаются оптические нелинейности в большинстве широкозонных полупроводниковых кристаллов. Это объясняется тем, что фоторефракция (ФР) и фотопоглощение (ФП) связаны с перезаполнением локализованных состояний, плотность которых в ХСП, как известно, велика [3].

Одним из возможных способов реализации условий для наблюдения нелинейных оптических свойств тонких пленок ХСП является помещение их в резонатор Фабри-Перо. Таким способом авторы [4] обнаружили гигантские оптические нелинейности в поликристаллических пленках соединений типа ZnS .

Задачей настоящей работы являлось изучение ФР и ФП в пленках ХСП разного состава в зависимости от интенсивности возбуждения $I_{возб}$ с целью создания на основе этих материалов нелинейного оптического элемента - тонкопленочного интерферометра (ТПИ). Для создания нелинейного ТПИ с промежуточным слоем из ХСП требуется выбрать материал, обладающий, во-первых, наиболее резкой зависимостью Δn ($I_{возб}$) на рабочей длине волны λ_0 и, во-вторых, оптимальным значением коэффициента поглощения $\alpha_{опт}(\lambda_0)$, при котором при данных параметрах зеркал ТПИ обеспечивается максимальная нелинейность оптического пропускания в функции от $I_{возб}$ - $\frac{I_{просш}}{I_{возб}}(I_{возб})$.